# (钒钛材料与应用)

# Zn 对工业 V-Mo/Ti 脱硝催化剂性能的影响

### 纵宇浩」黄 力」常峥峰」2 王 虎」周 军」李金珂」

(1.大唐南京环保科技有限责任公司 江苏 南京 211111; 2.南京理工大学化工学院 江苏 南京 210094)

摘 要: 采用浸渍法将不同含量的 Zn 负载到工业 V-Mo/Ti 脱硝催化剂上 ,评价其  $NH_3$  选择性催化还原 NO 的活性。采用 XRD、 $N_2$ -吸附脱附、 $NH_3$ -TPD、 $H_2$ -TPR 和 NO-TPD 等 对催化剂进行理化表征。结果表明 Zn 的负载 没有改变 V-Mo/Ti 催化剂的晶型结构 ,但降低了 V-Mo/Ti 催化剂的比表面积、还原性能 ,减少催化剂的酸量 ,降低了催化剂对 NO 的吸附性能 ,从而降低脱硝催化剂的催化剂性能。同时,采用 0.5 mol/L 的  $H_2SO_4$  溶液对 Zn 中毒的催化剂进行清洗,可以有效去除催化剂上负载的 Zn。

关键词: 脱硝催化剂; SCR; V-Mo/Ti; Zn; 吸附性能

中图分类号: X756 ,TQ426 文献标志码: A 文章编号: 1004-7638(2020) 06-0030-05

**DOI**: 10.7513/j.issn.1004-7638.2020.06.007 开放科学(资源服务)标识码(OSID):



听语音 聊科研

# Effect of Zn on Catalytic Performances of Industrial V-Mo/Ti De-NO, Catalyst

Zong Yuhao<sup>1</sup> ,Huang Li<sup>1</sup> ,Chang Zhengfeng<sup>1,2</sup> ,Wang Hu<sup>1</sup> Zhou Jun<sup>1</sup> ,Li Jinke<sup>1</sup>

(1.Datang Nanjing Environmental Protection Technology Co., Ltd., Nanjing 211111 Jiangsu, China; 2.School of Chemical Engineering, Nanjing University of Science and Technology, Nanjing 210094, Jiangsu, China)

Abstract: Different contents of Zn was loaded on V-Mo/Ti catalyst by impregnation method and the activity of selective catalytic reduction of NO by NH<sub>3</sub> was evaluated. The catalysts were characterized by XRD N<sub>2</sub> adsorption-desorption NH<sub>3</sub>-TPD H<sub>2</sub>-TPR and NO-TPD. The results show that Zn loading does not change the crystal structure of V-Mo/Ti catalyst but reduces the specific surface area and reduction performances of V-Mo/Ti catalyst. Furthermore Zn loading reduces the acid content as well as the NO adsorption performance of the catalyst decreasing the catalytic denitration performances of the catalyst. With 0.5 mol/L H<sub>2</sub>SO<sub>4</sub> solution for washing the Zn poisoned catalyst the Zn loaded on the catalyst can be effectively removed.

**Key words**: de-NO<sub>x</sub> catalyst SCR ,V-Mo/Ti Zn ,adsorption performance

## 0 引言

选择性催化还原(SCR)技术已广泛应用在国内外燃煤锅炉的脱硝工程中,在脱硝催化剂的作用下,

将烟气中的氮氧化物( $NO_x$ ) 转化为  $N_2$  和  $H_2O^{[1-2]}$ 。 工业脱硝催化剂以 V=Mo(W) / $TiO_2$  为主 ,设计寿命 通常为 24 000 h ,在实际工况中 ,受烟气飞灰中金属 元素的影响 ,催化剂的脱硝活性会随时间的延长而

收稿日期: 2020-05-25

基金项目: 江苏省科技成果转化专项资金项目(BA2017095); 江苏省博士后科研资助计划(2018K076C); 中国博士后科学基金(2019M651632)。

逐步降低。

造成脱硝催化剂中毒的元素一般包括碱金属  $(K,Na)^{[3]}$ 、碱土金属 $(Ca,Mg)^{[4]}$ 、 $As^{[5]}$ 、 $P^{[6]}$ 等。近年来,随着研究的不断深入,燃煤锅炉烟气中重金属对脱硝催化剂的毒化作用也逐步受到重视。 Yu Y K等<sup>[7]</sup>发现向商用  $V_2O_5$ — $WO_3$ / $TiO_2$  脱硝催化剂上负载 Pb、K、Na、Ca 等元素后 催化剂的比表面积、酸性性能和还原性能均有下降,导致催化剂的脱硝活性降低。 Ali Z 等<sup>[8]</sup>的研究表明,Pb 会导致商用  $V_2O_5$ — $MoO_3$ / $TiO_2$  脱硝催化剂表面酸性和还原性能的下降。并且 Pb 与 Mo 形成的  $PbMoO_4$ ,会在催化剂表面团聚,进一步降低催化剂的脱硝活性。 赵梦梦等<sup>[9]</sup>发现 Ni 会与 V 形成  $Ni_3V_2O_8$  固溶体,使催化剂表面 Pomathoderical Romannian <math>Pomathoderical Ro

Zn 是燃煤锅炉烟气中含有重金属元素之一。在生物质锅炉中, Zn 是烟气中主要的重金属元素<sup>[10]</sup>。然而, Zn 元素对 V-Mo/Ti 脱硝催化剂的毒化作用, 目前的研究报道较少。笔者采用浸渍法, 向工业 V-Mo/Ti 脱硝催化剂上负载不同含量的 Zn ,通过固定床微型评价装置,考察了催化剂脱硝性能的变化。并且,通过系列表征手段,考察了 Zn 的存在对催化剂物理化学性质的影响。

#### 1 试验部分

#### 1.1 催化剂制备

工业 V-Mo/Ti 脱硝催化剂取自大唐南京环保科技有限责任公司。将脱硝催化剂研磨、过筛( $40\sim60$  目,即 $420\sim250$   $\mu$ m) 取一定量的催化剂粉末 按照 V/Zn 原子比  $1:0.2\ 1:0.5\ 1:1$  的比例,浸渍在不同浓度的硝酸锌水溶液中  $80\ ^{\circ}$  水浴搅拌  $2\ h$  ,烘干后,于空气气氛中  $500\ ^{\circ}$  焙烧  $2\ h$  制得不同 Zn 负载量的 V-Mo/Ti 脱硝催化剂。将试验所用的 V-Mo/Ti 催化剂,以及按照 V/Zn 原子比  $1:0.2\ 1:0$ .  $5\ 1:1$  所制得的催化剂,依次命名为  $ZN-1\ ZN-2\ ZN-3$  和 ZN-4。

#### 1.2 催化剂表征

XRD 分析在荷兰帕纳科公司的 X´Pert3 Powder 型 X 射线粉末衍射仪上进行。 $N_2$ -吸附脱附在美国 Micromeritics 公司的 ASAP 2000 型比表面积测定仪上进行。催化剂的粒径采用 LA-950V2 型激光粒度 仪分析。 $H_2$ -TPR、 $NH_3$ -TPD 和 NO-TPD 在美国 Micromeritics 公司的 AutoChem II 2920 全自动化学吸

附仪上进行。XRF 在 ZSX Primus II 型 X 射线荧光 光谱仪上进行。

#### 1.3 催化剂评价

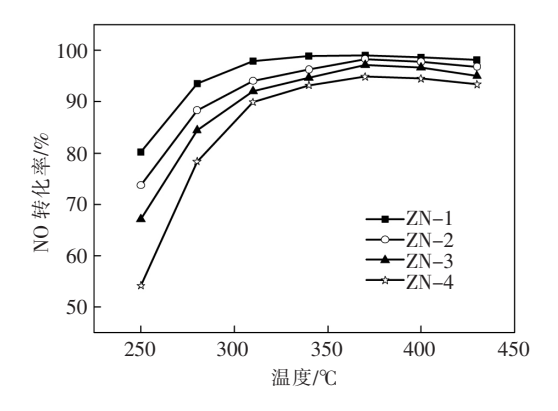
催化剂的脱硝性能在固定床微型反应器上进行。催化剂装填量 1 mL。采用  $NO_xNH_3$ 、 $O_2$  和  $N_2$  的混合气来模拟工业烟气 ,混合气流量为 1 L/min。其中 ,反应器入口  $NO_xNH_3$ 、 $O_2$  的体积浓度分别为 0.05%、0.05% 和 5% , $N_2$  为平衡气。采用奥地利 Madur 公司的 GA-21 plus 型烟气分析仪分析反应前后的  $NO_xNO_2$  浓度 ,并按以下公式计算脱硝效率:

$$\eta(\%) = \frac{\varphi(\text{ NO})_{\Lambda\Box} - \varphi(\text{ NO})_{\Box\Box}}{\varphi(\text{ NO})_{\Lambda\Box}} \times 100\%$$

#### 1.4 催化剂清洗

#### 2 结果与讨论

图 1 为不同催化剂的脱硝性能。可见 ZN-1 催化剂的脱硝效率相对较高 在烟气温度为 250 ℃时 催化剂的脱硝效率就可以达到 80%以上。当烟气温度大于 310 ℃时 催化剂的脱硝效率稳定在 95%以上。负载 Zn 后 催化剂的脱硝效率开始下降。ZN-2 催化剂在烟温为 250、280 ℃和 310 ℃时的脱硝效率分别降至 73.7%、88.3%和94.1%。当 V/Zn 原子比为 1:0.5 时 催化剂的脱硝效率进一步降低。继续降低 V/Zn 原子比至 1:1 这个趋势更加明显。ZN-4 催化剂在烟温为 250 ℃时的脱硝效率降低至54.1% 催化剂的最大脱硝效率仅为 94.8%。



为明确 Zn 对 V-Mo/Ti 催化剂脱硝性能影响的原因 对试验中的催化剂进行表征分析。图 2 为不同催化剂的 XRD 谱。由图 2 可以看出 ZN-1 催化剂在  $2\theta$ =25.5°、37.1°、48.3°、54.1°、55.3°、62.8°、70.3°和75.3°出现锐钛矿型  $TiO_2$  的特征衍射峰 [11] 。负载 Zn 后,催化剂的 XRD 衍射峰出峰位置和峰强与 V-Mo/Ti 催化剂一致,说明 Zn 的负载没有影响催化剂载体的晶型。

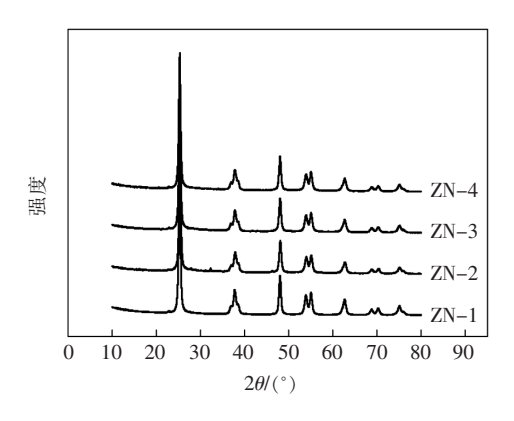


图 2 不同催化剂的 XRD 图 Fig.2 XRD patterns of different catalysts

表 1 列出了不同催化剂的孔结构分析数据。 ZN-1 催化剂的比表面积和孔容较高,分别为  $82.78~{\rm m}^2/{\rm g}$  和  $0.313~{\rm cm}^3/{\rm g}$ 。与之相比 ZN-2 催化剂的比表面积和孔容略有下降,平均孔径增加。继续增加 Zn 的负载量,催化剂的比表面积和孔容的降低幅度更加明显。  $Guo~{\rm R}~{\rm T}~{\rm S}^{[12]}$  在研究 Zn 和 Pb 对  $Ce/TiO_2$  脱硝催化剂的毒化作用时也发现了类似的现象,并认为这是由于 Zn 或 Pb 的负载,造成了催化剂微孔的堵塞和催化剂颗粒的团聚。在试验中,四种催化剂的  $D_{50}$ 和  $D_{90}$ 基本一致,因此负载 Zn 后催化剂孔结构的变化,主要与微孔的堵塞有关。

表 1 不同催化剂的孔结构分析数据 Table 1 Porosity of different catalysts

催化剂	比表面积/ (m <sup>2</sup> • g <sup>-1</sup> )	孔容/ ( cm <sup>3</sup> • g <sup>-1</sup> )	平均孔 径/nm	$D_{50}/\mathrm{nm}$	$D_{90}$ /nm
ZN-1	82.78	0.313	15.1	1.12	1.45
ZN-2	76.55	0.296	15.9	1.09	1.43
ZN-3	69.13	0.275	16.7	1.11	1.44
ZN-4	59.24	0.231	17.6	1.12	1.43

采用 NH<sub>3</sub>-TPD 分析催化剂的酸性性能 结果如图 3 所示。ZN-1 催化剂在 300~500 ℃ 出现 NH<sub>3</sub> 脱附峰。随着 Zn 负载量的逐步增加 ,催化剂的 NH<sub>3</sub>

脱附峰峰面积随之下降。这个现象说明 Zn 对催化剂的表面酸性具有中和作用。

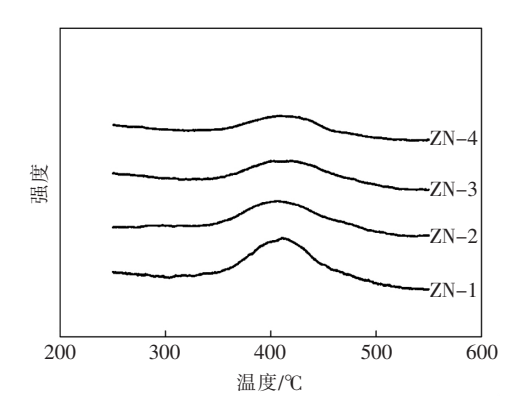


图 3 不同催化剂的 NH<sub>3</sub>-TPD 曲线 Fig.3 NH<sub>3</sub>-TPD curves of different catalysts

图 4 为不同催化剂的  $H_2$ -TPR 曲线。ZN-1 催化剂在 410 °C 出现耗氢峰 ,对应催化剂上  $VO_x$  和  $MoO_x$  物种的还原  $E^{[13]}$  。随着  $E^{[13]}$  。随着  $E^{[13]}$  。随着  $E^{[13]}$  。随着  $E^{[13]}$  。随着  $E^{[13]}$  。可能的增加 .催化剂的耗氢峰峰顶温度逐步向高温方向移动。这个现象说明  $E^{[14]}$  在研究  $E^{[14]}$  在研究  $E^{[14]}$  在研究  $E^{[14]}$  在研究  $E^{[14]}$  的毒化作用时 ,也发现了类似的现象。

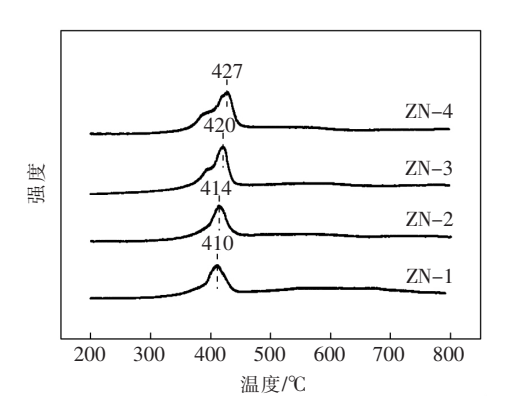


图 4 不同催化剂的  $H_2$ -TPR 曲线 Fig.4  $H_2$ -TPR curves of different catalysts

图 5 为不同催化剂的 NO-TPD 曲线。在 100~700 ℃ 范围内,四种催化剂均显示了两个 NO 的脱附峰。其中,位于低温段的 NO 脱附峰为物理吸附在催化剂上的 NO ,而高温段的 NO 脱附峰则对应催化剂上硝酸盐的分解峰<sup>[15]</sup>。由图 5 可以看出,随着 V/Zn 原子比的降低,催化剂的 NO 脱附峰峰面积逐渐减小,说明催化剂对 NO 的吸附能力逐步减弱。

结合表 1 中的数据 ,这个现象可能与催化剂比表面 积的降低有关。

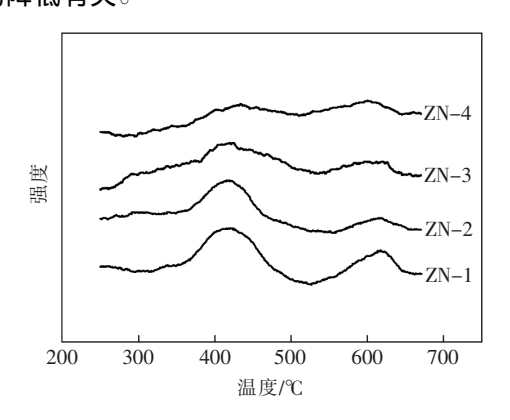


图 5 不同催化剂的 NO-TPD 曲线 Fig.5 NO-TPD curves of different catalysts

根据文献报道 SCR 脱硝反应遵循 E-R 机理: ①  $NH_3$  吸附在催化剂的酸位上形成 $-NH^{4+}$ ; ② $-NH^{4+}$ 被

 $V^{5+}=O$  氧化成为 $-NH_3^+$  , $V^{5+}=O$  同时被还原为  $H-O-V^{4+}$ ;  $3-NH^{3+}$ 与气相或者弱吸附的 NO 反应 ,生成  $N_2$  、  $H_2O$ ;  $4H-O-V^{4+}$  被  $O_2$  氧化为  $V^{5+}=O^{[16-17]}$  。催化剂的酸性性能和还原性能是催化剂脱硝活性的重要因素。在试验中 Zn 的负载减少了催化剂的酸量 ,降低了催化剂的还原性能 ,从而导致了 V-Mo-Zn/Ti 催化剂脱硝效率的降低。此外 ,NO 吸附性能的下降 ,也会对催化剂的脱硝活性 ,产生一定的负面影响。

采用 0.5 mol/L 的  $H_2SO_4$  溶液对负载 Zn 的催化剂进行清洗。表 2 列出了清洗前后催化剂的 XRF 分析数据 可以看出 酸洗对催化剂上的 Zn 具有明显的去除效果 法除效率 95% 以上。这是由于酸洗过程中 ZnO 与  $H_2SO_4$  反应 生成了水溶性良好的  $ZnSO_4$ 。然而 ,由表 2 还可以看出 酸洗过程也导致了催化剂上  $V_2O_5$  和  $MoO_3$  含量的下降。因此 需要对清洗后的催化剂进行活性组分和助剂的补充后 才能继续使用。

表 2 不同催化剂的 XRF 分析结果 Table 2 XRF analysis results of different catalysts

催化剂 一	清洗前/%			清洗后/%			+ 104 101
	$V_2O_5$	$MoO_3$	ZnO	$V_2O_5$	$MoO_3$	ZnO	一 去除率/%
ZN-2	1.60	2.53	0.29	1.49	2.31	0.01	96.55
ZN-3	1.59	2.51	0.70	1.52	2.35	0.03	95.71
ZN-4	1.58	2.52	1.42	1.47	2.2	0.06	95.77

## 3 结论

1) 向 V-Mo/Ti 催化剂上负载重金属元素 Zn ,会导致催化剂比表面积和孔容的下降 ,当催化剂负载的 V: Zn 摩尔比为 1:1 时 ,比表面积、孔容由 82.78  $m^2/g$ 、0.313  $cm^3/g$  降到 59.24  $m^2/g$ 、0.231  $cm^3/g$ 。

- 2) Zn 的添加还会造成 V-Mo/Ti 催化剂酸量的降低 .还原性能的下降 ,以及催化剂对 NO 吸附性能的减弱 ,从而导致催化剂脱硝效率的降低 ,250  $^{\circ}$ C 时 .催化剂脱硝效率由 80.19%降低到 54.13% 。
- 3) 采用 0.5 mol/L 的  $H_2SO_4$  溶液清洗可以有效 去除催化剂上负载的 Zn 法除效率 95%以上。

#### 参考文献

- [1] Chen C M Gao Y Liu S T et al. Review on the latest developments in modified vanadium-titanium-based SCR catalysts [J]. Chinese Journal of Catalysis 2018 39: 1347–1365.
- [2] Liu Z S ,Yu F ,Ma C H ,et al. A critical review of recent progress and perspective in practical denitration application [J]. Catalysts 2019 9: 771-810.
- [3] Ning R L Chen L Li E W *et al.* Applicability of V<sub>2</sub>O<sub>5</sub>-WO<sub>3</sub>/TiO<sub>2</sub> catalysts for the SCR denitrification of aluminum calcining flue gas [J]. Catalysts 2019 9: 220–231.
- [4] Zhao Li Han Jian Wu Yangwen *et al.* Study on alkaline earth metal poisoning of vanadium-titanium based SCR denitration catalyst [J]. Chemical Industry and Engineering Progress 2019 38(3): 1419-1426.

  (赵莉 韩健 吴洋文 等.钒钛基 SCR 脱硝催化剂碱土金属中毒[J].化工进展 2019 38(3): 1419-1426.)
- [5] Yao Yan Wang Lele Li Letian *et al*. Arsenic deactivation of honeycomb SCR catalysts in coal-fired power plants [J]. Thermal Power Generation 2018 *A7*(10): 31–36.

(姚燕,王乐乐,李乐田,等.燃煤电厂选择性催化还原脱硝催化剂砷中毒分析[J].热力发电,2018,47(10):31-36.)

- [6] Castellino F ,Rasmussen S B ,Jensen A D *et al.* Deactivation of vanadia-based commercial SCR catalysts by polyphosphoric acids [J]. Applied Catalysis B: Environmental 2008 §3: 110–122.
- [7] Yu Y K ,Wang J X ,Chen J S *et al*. Regeneration of commercial selective catalyst reduction catalysts deactivated by Pb and other inorganic elements [J]. Journal of Environmental Sciences 2016 ,47: 100-108.
- [8] Ali Z ,Wu Y W ,Wu Y et al. Inhibition effects of Pb species on the V<sub>2</sub>O<sub>5</sub>-MoO<sub>3</sub>/TiO<sub>2</sub> catalyst for selective catalytic reduction of NO<sub>x</sub> with NH<sub>3</sub>: A DFT supported experimental study [J]. Applied Surface Science 2020 525(30): 146582-146586.
- [9] Zhao Mengmeng Chen Mengying Zhang Pengju et al. Catalytic effect of Ni component on supported V<sub>2</sub>O<sub>5</sub>-WO<sub>3</sub>/NiO-TiO<sub>2</sub> denitration catalysts [J]. Powder Metallurgy Industry 2019 29(1): 42-49.

(赵梦梦 陈梦寅 张鹏举 等.负载型  $V_2O_5$ - $WO_3$ /NiO- $TiO_2$  脱硝催化剂上 Ni 组分的催化作用 [J].粉末冶金工业 2019 29 (1): 42-49.)

- [10] Larsson A C Einvall J Andersson A et al. Targeting by comparison with laboratory experiments the SCR catalyst deactivation process by potassium and zinc salts in a large-scale biomass combustion boiler [J]. Energy & Fuels 2006 20: 1398–1405.
- [11] Chao Jingdi ,He Hong Song Liyun ,et al. Promotional effect of Pr-doping on the NH<sub>3</sub>-SCR activity over the V<sub>2</sub>O<sub>5</sub>-MoO<sub>3</sub>/TiO<sub>2</sub> catalyst [J]. Chemical Journal of Chinese Universities 2015 36(3):523-530.

  ( 晁晶迪 何洪 宋丽云 等.Pr 掺杂对 V<sub>2</sub>O<sub>5</sub>-MoO<sub>3</sub>/TiO<sub>2</sub> 催化剂 NH<sub>3</sub>-SCR 反应活性的影响 [J].高等学校化学学报 2015 , 36(3):523-530.)
- [12] Guo R T ,Lu C Z ,Pan W G , et al. A comparative study of the poisoning effect of Zn and Pb on Ce/TiO<sub>2</sub> catalysts for low temperature selective catalytic reduction of NO with NH<sub>3</sub> [J]. Catalysis Communications 2015 ,59: 136–139.
- [13] Dong G J Bai Y Zhang Y F et al. Effect of the V<sup>4+(3+)</sup> /V<sup>5+</sup> ration on the denitration activity for V<sub>2</sub>O<sub>5</sub>-WO<sub>3</sub>/TiO<sub>2</sub> catalysts [J]. New Journal of Chemistry 2015 39(5): 3588-3596.
- [14] Guo R T ,Wang Q S ,Pan W G , et al. The poisoning effect of heavy metals doping on Mn/TiO<sub>2</sub> catalyst for selective catalytic reduction of NO with NH<sub>3</sub> [J]. Journal of Molecular Catalysis A: Chemical 2015 ,407: 1-7.
- [15] Jin R B Liu Y Wu Z B et al Low-temperature selective catalytic reduction of NO with NH<sub>3</sub> over Mn-Ce oxides supported on TiO<sub>2</sub> and Al<sub>2</sub>O<sub>3</sub>: A comparative study [J]. Chemosphere 2020 78(9):1160-1166.
- [16] Topsøe N Y ,Topsøe H ,Dumesic J A. Vanadia/titania catalysts for selective catalytic reduction (SCR) of nitric oxide by ammonia I .Combined temperature programmed in situ FTIR and on-line mass spectroscopy studies [J]. Journal of Catalysis ,1995 ,151 (1): 226-240.
- [17] Topsøe N Y "Dumesic J A "Topsøe H. Vanadia/titania catalysts for selective catalytic reduction of nitric oxide by ammonia II. Studies of active sites and formulation of catalytic cycles [J]. Journal of Catalysis "1995 "151(1): 241-252.

编辑 杨冬梅

#### (上接第29页)

(庄立军 杨锦铭.含钒酸钙废渣制备五氧化二钒研究[J].铁合金 2017(10):31-34.)

- [5] Zhang Yi.Clean production technology of sub molten salt and efficient utilization of resources [M]. Beijing: Chemical Industry Press 2016.
  - (张懿.亚熔盐清洁生产技术与资源高效利用[M].北京: 化学工业出版社 2016.)
- [6] Yan Hong Wang Shaona Du Hao et al. Reaction rules of carbonization-ammonium process producing vanadium oxide [J]. The Chinese Journal of Nonferrous Metals 2016 26(9): 2023–2031.
  - ( 闫红 ,王少娜 杜浩 , 等. 钒酸钙碳化铵化生产钒氧化物的反应规律 [J]. 中国有色金属学报 2016 26(9): 2023-2031.)
- [7] Office of Panzhihua Resource Comprehensive Utilization. Collections of scientific research reports of Panzhihua resource comprehensive utilization (Third volume) [R]. 1985: 295-296.
  - (攀枝花资源综合利用办公室.攀枝花资源综合利用科研报告汇编(第三卷下)[R].1985:295-296.)